

東京大学 正員 沢村 南
 東京大学 鈴木 正治
 東京大学 学生員 ○國島 正彦

1. 研究の動機

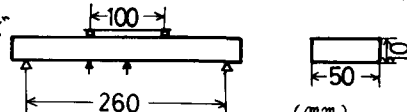
膨張コンクリートの特性に関しては、数多くの研究報告がなされており、いくつかの興味ある特性が指摘されている。一例を挙げると、24時間の持続荷重によって、膨張混和材を用いたモルタルのたわみが、膨張混和材を用いない場合の約5倍にもなった例がある。しかし、これらの特性が何故に膨張コンクリートに現れるかについての明快な説明はなされていない現状である。

本文は、膨張コンクリートの応力-歪曲線が、普通コンクリートと大きく異ることを詳細に検討し、その弾塑性的特性の一解釈方法を述べたものである。すなわち、膨張コンクリートと、膨張の起因であるエトリンガイトと、それを直接拘束していると考えられるセメント硬化体その他からなる複合材料として取扱いうアプローチを示したのである。

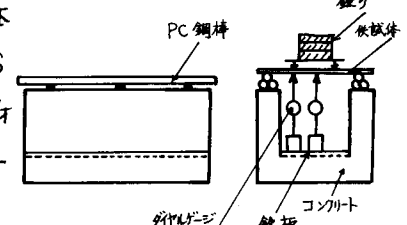
本研究を行なうに際し、懇切丁寧なる御指導を賜つた、國分正胤先生に深く感謝の意を表します。

2. 膨張混和材を用いたモルタルの力学的特性

モルタルの曲げ載荷試験は、 $1 \times 5 \times 30$ cm の供試体と、試験図-1 曲げ試験 供試体 は公載荷装置した載荷装置(国-1)にセットし、1 kg の錘りを1分間隔で載荷し、載荷した瞬間のたわみ量(弹性たわみ量と称する)と、次の錘りを乗せるまでの1分間に生ずるたわみ量(クリープたわみ量)を分離して測定した。 1 kg の載荷は、緯応力を約 4.8 kg/cm^2 の増加である。試験は、 20°C の恒温室内で行ない、供試体をポリエチレンでラールして乾燥を防いだ。モルタルは、W:C:Sを $1:2:2$ とし、セメントの11%および13%をカルラウムサルファルミネート系の膨張混和材(電気化学工業K.K製)で置換えた。なお、セメントは、早強ポルトランドセメントを用いた。



スパン中央における主たわみ量(弹性たわみ量+クリープたわみ量)についての荷重-たわみ曲線は、国-2に示すようであつて、膨張モルタルの場合は、著しく曲線状となった。しかし、瞬間の弹性たわみ量だけをとりだして加えあわせていつた。荷重-弹性たわみ曲線で整理すると、材令5日および膨張混和材の使用量によらず両者の関係は、ほぼ直線となつたのである(国-3参照)。この直線の勾配は、材令1日では、膨張混和材の有無にかかわらず、ほぼ同様であるが、材令2日では、膨張モルタルの場合は、普通モルタルより、約20%小さくなつた。曲げ引張強度も同様の傾向を示し、材令1日では大差がないが、材令2日では、膨張モルタルの強度は、普通モルタルの強度より約30%低下した。



一方、破壊における最終変形能力には、材令1日より相違が認められ、膨張モルタルは、材令1

日では1.2倍、材令21日では1.7倍となり、普通モルタルに比べて著しく変形能力に富むことが示されたのである。また、普通モルタルの最終変形能力は、材令によらず、ほぼ一定であるが、膨張モルタルは、材令1日から材令21日までに約50%の増加を示した。この現象を解明する為に、載荷ごとに分離して測定した1分間のクリープ量を加えあわせた、荷重クリープたわみ曲線について整理すると、破壊時の全たわみ量のなかのクリープたわみ量の比率は、普通モルタルの場合、材令によらず10~15%であるが、膨張モルタルの場合は、材令1日で25~30%、材令21日では約50%を占めている(図-4参照)。

この間の事情について、さらに詳しく検討する為に、破壊荷重の70%および30%の載荷と24時間維持した。その結果、24時間の間に生ずる膨張モルタルのクリープ量は、材令1日および材令21日のいずれに載荷した場合でも、普通モルタルの場合約5倍にもなることが示されたのである(図-6参照)。

圧縮試験における膨張モルタルの、Initial Tangent Modulusは、普通モルタルの場合より約15%小さい値を示した。これは、静弾性係数試験における試験時間は、5~10分には必要であるので、その間の短時間クリープが混入してくる為と思われる。このことは、動弾性係数が、膨張混和材の有無にかかわらず、ほぼ同様であることがうちも確認されたのである(図-7参照)。

これを要するに、膨張混和材を用いたモルタルにおいては、“真の弾性変形”は、応力に比例すると共に、膨張混和材の置き換え率が、11~13%の範囲では 膨張混和材を用いない場合と、ほぼ同様の弾性係数となるが、短時間におけるクリープ変形が著しく大きい為に、“かけの応力-歪曲線”は、著しく曲線状となり、普通モルタルよりも、歪が大きくなるのである。

表-1 曲げ試験結果

| 使用量 材令(日) | 0 % | | 11 % | | 13 % | |
|---|------|------|------|------|------|------|
| | 1 | 21 | 1 | 21 | 1 | 21 |
| 曲げ引張強度 kg/cm^2 | 354 | 786 | 306 | 54.6 | 354 | 54.6 |
| 1kg あたりの弾性たわみ $\times \frac{1}{1000}$ | 78 | 36 | 70 | 43 | 68 | 46 |
| 1kg あたりのクリープたわみ $\times \frac{1}{1000}$ (5kg載荷時) $\times \frac{1}{1000}$ | 5 | 3 | 25 | 11 | 24 | 11 |
| 最終変形能力 $\times \frac{1}{1000}$ | 620 | 680 | 700 | 1100 | 800 | 1250 |
| 最終クリープたわみ $\times \frac{1}{1000}$ | 60 | 100 | 180 | 540 | 240 | 700 |
| 最終変形能力の中の クリープたわみの比率 | 0.10 | 0.17 | 0.25 | 0.45 | 0.29 | 0.56 |

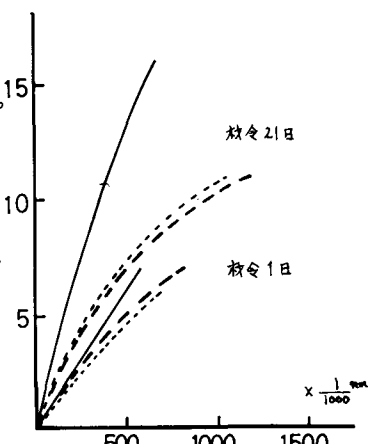


図-2 スパン中央の全たわみ量

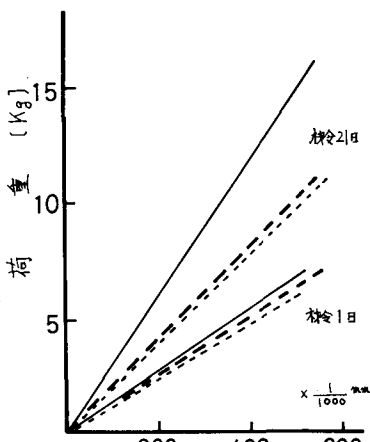


図-3 スパン中央の弾性たわみ量

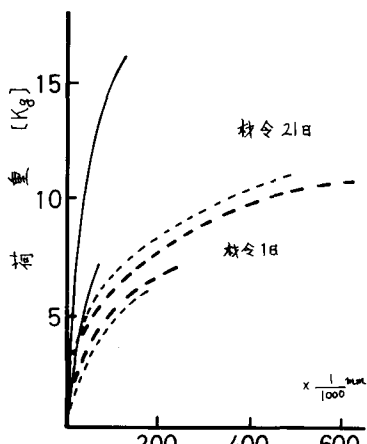


図-4 スパン中央のクリープたわみ量

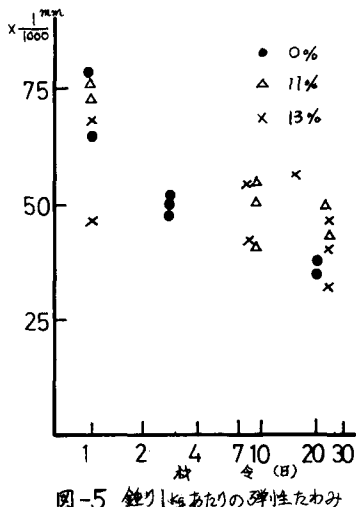


図-5 鉛り1kgあたりの弾性たわみ

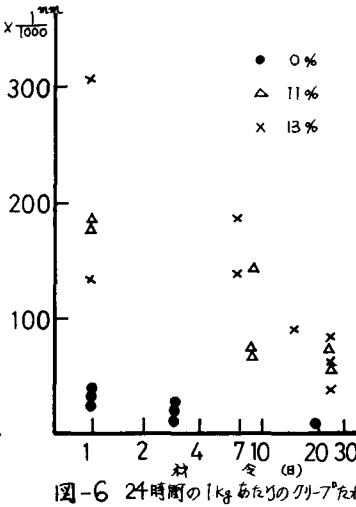


図-6 24時間の1kgあたりのクリアたわみ

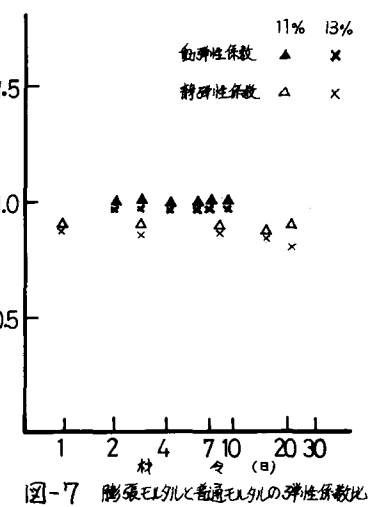


図-7 膨張モルタルと普通モルタルの弾性係数比

3. 膨張コンクリートの特性を解析するためのアプローチ

上述したように、短時間のクリアが膨張混和材を用いること非常に大きくなるが、その原因は、エトリンガイトの生成、その他の化学的作用によるものか、エトリンガイトの生成に伴なう膨張によるマイクロクラックなどの物理的作用によるものかは不明である。しかし、いずれにしても、モルタルについて行なった結果が、コンクリートの場合にも適用でき、弾塑性的特性に大きな差が生ずるだけは間違いない。従って、膨張コンクリートの理論的解析を行なう場合には、弾性変形とクリア変形とを分離する必要があり、普通コンクリートの場合に行なわれている弾性理論で解析するのではなく適切であって、弾性理論と塑性理論の両方を使っての解析が必要だと思われる。また、普通コンクリートの塑性解析には、バネとダッシュボットの力学モデルが使われるが、膨張コンクリートの特性を解析する力学モデルは、それ自身が膨張するという要因を加味しなければならない。そこで、“潜在膨張量”の概念を導入した複合モデルを考えし、その直面について検討を加えたのである。

3-1. 膨張コンクリートの複合モデル

膨張コンクリートの特性が、エトリンガイトの生成の影響であると考えるのは自然であって、まず、セメント硬化体とエトリンガイトとの最も簡単な二相系複合モデル(図-8)について検討した。この場合、簡単のために、1方向のみの膨張および拘束を考慮した。エトリンガイトが生成して、図中のエトリンガイト部が膨張すると、直列部のセメント硬化体は圧縮応力を受け、並列部では引張応力をうける。また、エトリンガイト部は、セメント硬化体による拘束によって圧縮応力を受けた。なお、膨張コンクリートは、図-8に示した極めて小さいモデルが集まってできたものとして論議を進めたとした。

3-2. 潜在膨張量

ある種の膨張混和材を、ある配合および養生条件(温度、水の

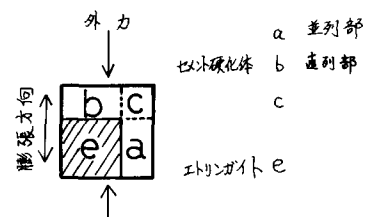


図-8 簡単な二相系複合モデル

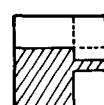


図-9 備考した複合モデルの一例

供給)で用いれば、拘束条件によつて、その膨張量の発現は置つても、生成しうる膨張素材の量は一定であると考え、「潜在膨張量は一定である」との仮説を設けることにした。図-8に示す複合モデルにおいて、潜在膨張量 ϵ_0 を導入し、エトリンガイト部の歪を $(\epsilon_0 + \epsilon_e)$ と表現することにしたのである。これによつて、応力によつて生ずる歪 ϵ_e と、エトリンガイト生成による歪 ϵ_0 とを区別して取扱うことができるのである。すなはち 時間の経過に伴つて、 ϵ_0 は増加するが、短期間に外力が作用する場合は、 ϵ_0 は一定とし、 ϵ_e のみが変化すると考えたのである。また、拘束条件だけが異なる場合にも、 ϵ_0 は一定であると考えたのである。なお、エトリンガイトの一部は、マイクロクラック、気泡、その他の空隙中に生成すると考えられるので実際には膨張に寄与するエトリンガイトの量は、これらを考慮して補正する必要があらう。

3-3 潜在膨張量と顯在膨張量との関係

図-8に示す複合モデルにおいて、潜在膨張量 ϵ_0 、△t時間の間に△ ϵ_0 だけ増加した場合に、それによつて生ずる拘束应力の変化△ σ や、顯在膨張量の増加△ ϵ の増加は、二相間の相対変位の有無によつて著しく異つてくる。極端なケースは、両相間、全く相対変位がない場合(ケースI)と、両相間に、全く付着のない場合(ケースII)とであつて、通常は、この両者の中間にあつ。そこで、この両極端について検討した結果、△ σ および△ ϵ を表す式を一覧に示すことができた。しかし、膨張コンクリートの特性を、この種の複合モデルを用いて解析する為には、まず、以下の事項を検討する必要があることが明示されたのである。

- (i) 各部分における应力 σ と歪 ϵ との関係(時間 t の関数でもある)
- (ii) 各部分におけるクリープ ϵ_{cc} と時間 t との関係(应力 σ の関数でもある)
- (iii) エトリンガイト部の容積率 β と膨張混和材との関係
- (IV) 潜在膨張量 ϵ_0 と時間 t との関係
- (V) マイクロクラックおよび気泡などの空隙による潜在膨張量 ϵ_0 の補正

3-4 複合モデルの修正

エトリンガイト部の実際の应力と歪との関係を表わす第一次近似として、ケースIとケースIIの平均値を用いて、膨張の発現による内力の変化を検討した。セメント硬化体の弾性係数を一定とし、 ν の値を0.5、潜在膨張量を顯在膨張量の5~10倍として計算すると、セメント硬化体部の引張应力が100 MPaを越えてしまい、常識的な値が得られなかつた。また、外力の変化に対して、膨張モルタルの瞬間弾性変形 ν が普通モルタルと大差がないにもかかわらず、短期間ににおけるクリープ変形が著しく大きいという現象を説明するには、エトリンガイトとセメント硬化体との相互関係に、純粹な並列部分がある図-8のような力学モデルは不適当であることをあきらめになつた。

そこで、これを考慮して修正したモデルの一例を示すと、図-9である。なお、エトリンガイト部のクリープ変形が著しく大きいので、この部分における歪 ϵ_e を、さらに、クリープ歪と弾性歪とに分離して取扱う必要もある。

エトリンガイトの影響を考慮した、この種の複合モデルについて、さらに検討を加え、この種のモデルを用いて膨張コンクリートの諸特性を解明する可能性について、今後さらに研究を進めてゆく所存である。